

室内化学物質による呼吸空気質汚染の数値解析とその制御に関する研究(その1)

床材からのTVOC放散と換気除去効果の検討

数値解析、TVOC、Flushing

正会員 ○加藤信介¹ 同 村上周三²同 伊藤一秀³ 同 近藤靖史⁴

1. 序 近年、住宅・オフィスにおいて微量化学物質による空気汚染の問題が顕在化している^{1,2)}。本研究は、特に総揮発性有機化合物(TVOC)に着目し、その建材等からの室内への放散・拡散の構造をCFDを用いて詳細に解析し、呼吸空気質の汚染低減法を考察する。本報では特に人体呼吸域汚染に大きな影響を与えると思われる床材からのTVOC放散に関して換気の観点から検討する。

2. TVOC放散・拡散モデル TVOCの放散・拡散過程を单一物質の放散・拡散にモデル化する(図1、表1)^{3,4)}。

2-1. 分子拡散による輸送現象(建材中) 建材中のTVOCは1次元拡散方程式で表現されるものと仮定する(表1(1)式)。材料中におけるTVOCの拡散係数Dを定義し、材料中の初期濃度C₀分布と共にチャンバー法による放散実験結果よりこれを推定する^{1,文5,6)}。 2-2. 建材表面・空気界面での輸送現象

建材表面での空気中への放散量と材料中の輸送量は保存される(表1(2)式)。 2-3. 移流・拡散による輸送現象(空気中) 気中に放散されたTVOCは室内気流により移流・拡散され、吸込口より排出される(表1(3)式)。境界層粘性底層の拡散現象を解くため、低Re型k-ε modelに基づく気流解析を使用⁷⁾。 3. Flushing 建材から室内へのTVOC放散・拡散現象は、建材等のTVOC汚染源強度(材令)、拡散係数(材料温度)、汚染空気中濃度、換気量、空気温度等、様々な要因の影響を受ける。種々の要因の中でも、汚染源強度(材令)、材料中拡散係数(温度)、換気量の3者はTVOC放散・拡散現象を特徴づける主因となる⁸⁾。本報では特に換気に着目し、換気の効果を検討する。なお、本研究では換気量の一時的増大による室内洗浄を、通常の換気による汚染質除去であるPurgingと区別し、Flushingと定義する。Flushing効果を、建材中のTVOC拡散係数を材料温度上昇により増加させて短期に放散させるbake-out効果と比較する。このため、室温、建材温度は23℃及び30℃両者の検討を行う。

4. 解析空間及びTVOC発生源 4-1. 解析空間(図2) 吹出スロット幅を代表長さ(L₀=0.06m)とし、(x)×(z)=75L₀×50L₀(=4.5m×3.0m)の2次元居室。本解析対象は精密模型実験により詳細な風速データが得られている⁹⁾。 4-2. TVOC発生源(図3) カーペットの一種であるSBR(polypropene Styrene-Butadiene Rubber²⁾)を対象とする。カーペット厚は0.25L₀(0.015m)とし、カーペット中のTVOCについては均一に初期濃度C₀=1.92×10⁸μg/m³を与える^{3,文5)}。

5. 解析ケース 5-1. 流れ場 吹出風速1/10·U₀(=0.1m/s)、換気回数1.6回/h)、及びU₀(=1.0m/s、換気回数16回/h)の2種の流れ場。低Re型k-ε model(MKC model⁷⁾)により解析。なお、スカラ方程式移流項は1次風上、その他は中心差分。 5-2. 解析ケース(表2) 室温23℃、吹出風速1/10·U₀の場合を基本ケース(case1)。24時間に1時間の割合で吹出

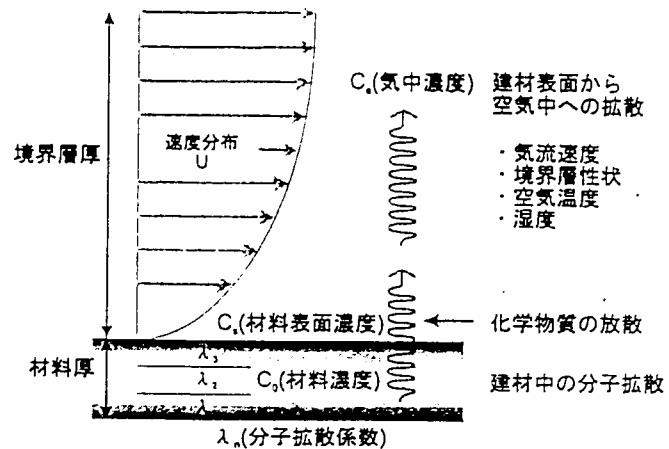


図1 建材からのTVOC放散・拡散現象

表1 支配方程式

1. 分子拡散による輸送(建材中)
TVOCを単一物質にモデル化し材料厚方向(z方向)の1次元拡散を仮定

$$\frac{\partial C}{\partial t} - \frac{\partial}{\partial z} \left(D \frac{\partial C}{\partial z} \right) \quad t > 0, 0 < z < 0.25L_0 \quad (1)$$

D: カーペット(SBR²⁾)中のTVOC拡散係数
(23℃: 1.1×10⁻¹⁴, 30℃: 4.2×10⁻¹⁴ m²/s) 文5,6注1)

2. 建材表面・空気界面での輸送
建材表面から空気中へのTVOC移動量は、flux量が保存

$$-D \frac{\partial C}{\partial z}|_{w.s.+} = -Da \frac{\partial C}{\partial z}|_{w.s.-} \quad w.s.: wall surface \quad (2)$$

w.s.+は建材側

3. 移流・拡散による輸送(空気中)

$$\frac{\partial C}{\partial t} + \frac{\partial(u_i C)}{\partial x_j} = \frac{\partial}{\partial x_j} \left((Da + \frac{v_i}{\sigma}) \frac{\partial C}{\partial x_j} \right) \quad (3)$$

D_a: 空気中のTVOC拡散係数
(23℃: 5.9×10⁻⁶, 30℃: 6.2×10⁻⁶ m²/s) 文5,6注1)
σ: 1.0, v_i: = C_μ · f_μ · k² / ε²⁷⁾

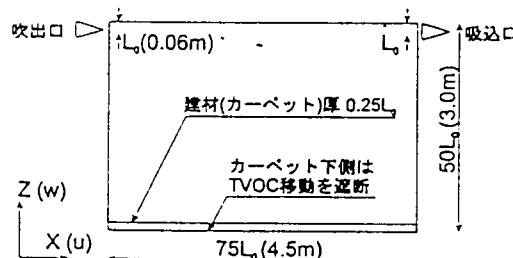


図2 解析対象空間(2次元)

風速U₀の流れ場でFlushingを行うケースをcase2。また室温30℃、吹出風速1/10·U₀の場合をcase3、24時間に1時間の割合でFlushingを行う場合をcase4。解析は2.0×10⁷·T₀(T₀=L₀/U₀, 14日間)行う。計算・解析条件は表3。

6. 解析結果 6-1. 平均風速分布(図4) 流れ場の解析結果は

精密模型実験結果²⁾と非常に良く一致する。6-2. TVOC 濃度(図 5,6) 室温 23°Cで Flushing を行わない case1 では、室平均 TVOC 濃度が計算開始より無次元時間 1.0×10^6 (実時間 17 時間) 後に最大 $C_{max}/C_0 = 1.1 \times 10^{-8}$ ($2.0 \mu\text{g}/\text{m}^3$) となりその後、極めて緩やかに減衰する³⁾。室平均濃度は無次元時間 2.0×10^7 (14 日間) でほとんど変化しない。その間の減衰は $\Delta C/C_0 = 3.6 \times 10^{-11}$ ($0.007 \mu\text{g}/\text{m}^3$) 程度(図 5)。室温 23°C で Flushing を行った case2 では、Flushing を行っている時間のみ室平均濃度が低下し、case1 の $1/10$ 程度となるが、それ以外の時間は case1 と同様の値となる。無次元時間 2.0×10^7 (14 日間) の計算時間では Flushing の効果は Flushing を行っている時間にのみ現れ、その後の平均濃度にはほとんど影響を与えない。室温 30°C で Flushing を行わない case3 では室平均濃度は最大 $C_{max}/C_0 = 4.1 \times 10^{-8}$ ($7.8 \mu\text{g}/\text{m}^3$) に達し、case1 の 4 倍程度の値となる。Flushing を行った case4 は、case2 の場合と同様に Flushing を行っている時間のみ室平均濃度が低下し、case3 の $1/10$ 程度の濃度となる。6-3. 考察 建材中の拡散特性時間(ここでは $(0.25)^2 L_o^2 / D \cdot T_o$, 0.25:無次元材料厚、で評価)である 3.5×10^{11} (2.5×10^5 日)に比べ極めて短い 2.0×10^7 (14 日間)の TVOC 放散に関しては、 6.0×10^4 (1 時間)の Flushing の効果は Flushing を行っている時間のみ有効であり、その後の平均濃度に大きな影響を与えない(図 5)。床面では平均濃度の 8 倍以上の濃度域が存在し、乳児や就寝者等の床面に近い位置で生活する者が高濃度に曝露されやすい(図 6)。成人・立位の呼吸域平均濃度($z=25L_o$ ライン)は case1 で $C_{ave}/C_0 = 1.1 \times 10^{-8}$ ($2.0 \mu\text{g}/\text{m}^3$) 程度の値となり、Flushing 時にはその $1/10$ 程度まで濃度が低下する。また TVOC 発生量は温度に強く依存する。

7. 結論 (1)建材中の無次元拡散特性時間 3.5×10^{11} (2.5×10^5 日)に比べ極めて短い 2.0×10^7 (14 日間)という短期的な解析では室平均濃度はほとんど変化しない。(2)解析時間 2.0×10^7 (14 日間)に対し、更に継続時間の短い 6.0×10^4 (1 時間)の Flushing の効果は Flushing を行っている時間のみ有効であり、Flushing 後の平均濃度に大きな影響を与えない。(3)カーペット温度、室温が 23°Cから 30°Cに上昇することで、室平均 TVOC 濃度は 4 倍程度の値となる。(4)床付近では室平均濃度の 8 倍以上の濃度域が存在する。

[記号] U_o : 代表風速($1\text{m}/\text{s}$), L_o : 代表長さ(0.06m , 吹出スロット幅), $T_o = L_o/U_o$

[注] [1] ここで示した C_o , D はチャンバー法による SBR の TVOC 放散履歴を(1)～(3)式に基づく気流シミュレーションに当てはめ、最小 2 乗法により求めたものである²⁾。TVOC を構成する個別の化学物質の C_o , D の測定値を統合したものではない。[2] 繊維部と遮音によるその支持部よりなるカーペットの一種 [3] 製造後の命令により材料内に TVOC 分布が生じるので正確には分布性状を仮定する必要がある。[4] HASS102 換気基準では TVOC 設計基準濃度は $300 \mu\text{g}/\text{m}^3$ 。今回選んだ材料の解析結果はその $1/100$ のオーダー。

[参考文献] [1] 池田耕一他:新築及び改築集合住宅の室内空気質測定その 2,3,4, 日本建築学会便覧集 pp755-760, 1997 [2] 田辺新一: ホルムアルデヒド、VOC による室内空気汚染について、日本建築学会便覧集 pp767-768, 1997 [3] J.W. Axley, New mass transport elements and compounds for the NIST IAQ model, NIST GCR 95-676, 1995 [4] 朴俊鉉他:拡散モデルを用いた建材からの脱ガス評価に関する研究、日本建築学会便覧集 1997 [5] Qingyan Chen 私信 [6] Bluysen, P. M., et al, P. 1995. European database of indoor air pollution sources: the effect of temperature on the chemical and sensory emissions of indoor materials. TNO-Report 95-BBI-R0826. [7] Chikamoto, T., et al.: Numerical Simulation of Velocity and Temperature Fields within Atrium based on Modified k-ε model Incorporating Damping Effect due to Thermal Stratification, Room Air

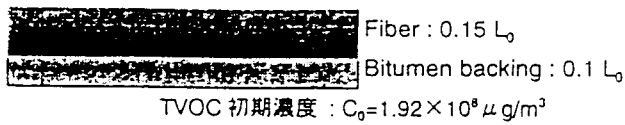


図 3 解析対象カーペット SBR²⁾

表 2 解析ケース

	Case1	Case2	Case3	Case4
Flushing	無し	1h/24h	無し	1h/24h
室温	23°C	23°C	30°C	30°C

表 3 計算・解析条件

メッシュ分割	流体側 建材側	: $68(x) \times 64(z)$: $68(x) \times 7(z)$
Reynolds 数	$U_o L_o / \nu = 4.2 \times 10^3$	材料中無次元拡散係数 ^{5,6)} 23°C : $D \cdot T_o / L_o^2 = 1.8 \times 10^{-13}$ 30°C : $D \cdot T_o / L_o^2 = 7.0 \times 10^{-13}$

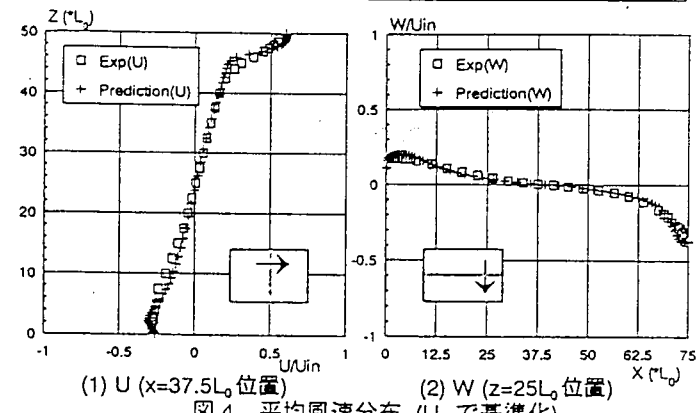


図 4 平均風速分布 (U_in で基準化)

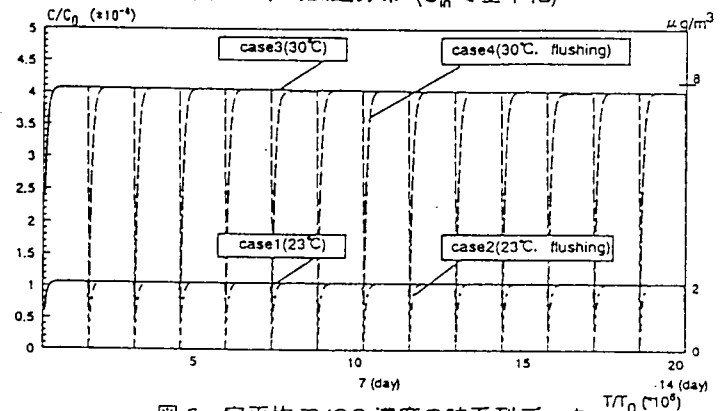


図 5 室平均 TVOC 濃度の時系列データ

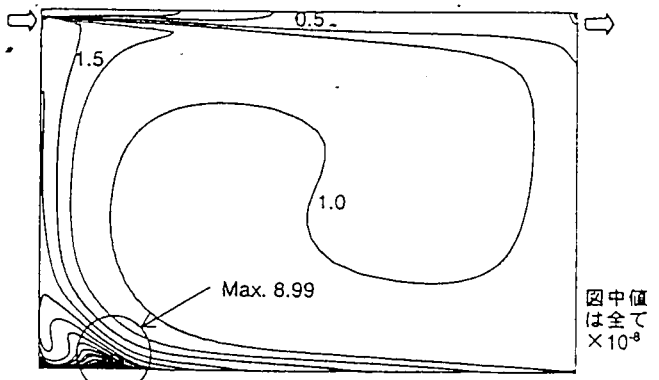


図 6 case1 TVOC 濃度分布 C/C_0 ($T/T_0 = 7.2 \times 10^6$ (120 時間))

Convection and Ventilation Effectiveness, ASHRAE, pp.501-509 [8] BSR/ASHRAE Standard 62-1989R, Ventilation for Acceptable Indoor Air Quality, Public Review Draft, Appendix D [9] 鈴木, 伊藤, 加藤, 村上: 不完全混合室内の居住域換気効率の評価に関する研究(その 3) 空気調和衛生工学会講演論文集, 1996, 9